

혼합 방사선장에서 개개의 방사선을 구별하기 위한 $MgB_4O_7(Mn)$ TLD의 응용

고신대학교 의학부 의예학과 교실
유명진

Application of $MgB_4O_7(Mn)$ TLD to the discrimination of different radiation in the mixed radiation field.

Myung-Jin Yoo

*Medical College, Kosin University,
Pusan 602-702, Korea*

=Abstract=

The thermoluminescence of $MgB_4O_7(Mn)$ TLD to different types of radiation with various energies have been investigated. Experimental results indicated that the glow curve and its peak height ratios for $MgB_4O_7(Mn)$ are clearly correlated with the type of radiation field and can therefore be used for the identification of a particular radiation component. Types of radiation that have been studied in this work include fast electron, X and gamma rays.

Key Words : Thermoluminescence, $MgB_4O_7(Mn)$ dosimeter, peak height ratio.

서 론

조직등가물질인 $MgB_4O_7(Z_{eff}=8.4)$ 은 1980년 Prokic⁶⁾이 활성제 Dy 및 Tm을 넣어 방사선 감도가 기존의 LiF 계열보다 4~7배 뛰어난 TLD(Thermoluminescence Dosimeter)라는 것을 보고하였다. 본 연구에서는 MgB_4O_7 에 활성제로 Mn을 첨가한 $MgB_4O_7(Mn)$ TLD로 실험하였다. TLD는 수십년 전부터 방사선량 평가에 널리 이용되고 있지만 환경 방사선량 관리나 개인 피폭선량 결정에 응용할때는, TLD 감도가 방사선의 종류나 에너지에 의존하므로 선량평가의 정확성과 신뢰성에 어느정도 문제가 있다. 그

러므로 TL 선량측정을 하는데 있어서는 방사선의 종류와 에너지를 확인하는 일이 대단히 중요하다.^{1 2 7)}

본 연구에서는 $MgB_4O_7(Mn)$ TLD의 glow curve peak 비가 방사선의 종류와 에너지에 대해 어떻게 의존하는가를 조사하였다. 그리고 $MgB_4O_7(Mn)$ 결정체의 크기에 따라서도 peak 비가 달라질 수 있는지를 조사하였다.

재료 및 방법

$MgB_4O_7(Mn)$ TLD는 분말 형태로 badge system에 넣어 사용하였다. $MgB_4O_7(Mn)$ TLD의 glow curve peak는 2개이고, 주

peak는 P_2 로서 254°C에서 나타났고 P_1 은 145°C에서 나타났다. 본 연구는 peak 높이 비 P_1/P_2 에 근거를 두고 있다.

그림 1은 $MgB_4O_7(Mn)$ TLD의 glow curve를 측정하기 위한 장치의 개략도이다.

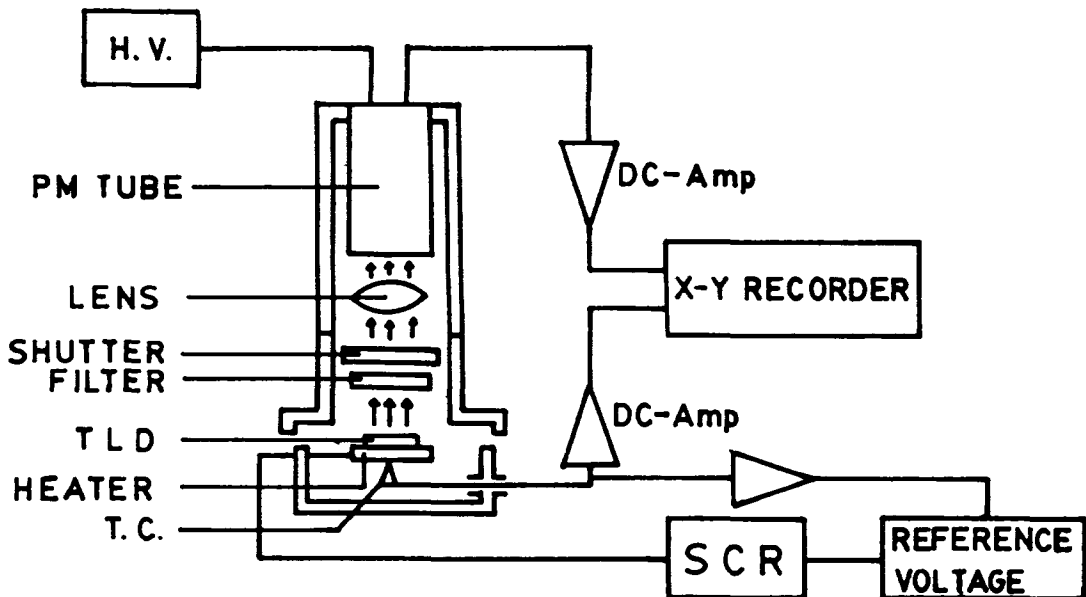


Fig. 1. Schematic diagram of TLD readout system

Table 1. Experimental conditions for X-ray and gamma ray irradiation

X-ray tube voltage and radio isotopes	Inherent filter(mm)	Additional filter(mm)	Effective energy(KeV)	HVL (mm)
50(kVp)	Be 2.2	—	32	Al 2.9
80(kVp)	〃	Al 2.05	40	Al 6.02
100(kVp)	〃	Al 4.01	51	Cu 0.315
150(kVp)	〃	Cu 0.35 + Al 4.0	75	Cu 0.845
200(kVp)	〃	Cu 2.0	113	Cu 2.45
250(kVp)	〃	Cu 5.0 + Cu 1.05	166	Cu 4.75
^{137}Cs	—	—	662	—
^{60}Co	—	—	1250	—

고속 전자선은 6MeV-18MeV 까지 사용하였다.

열전대(Cromel-Alumel)의 기전력을 저잡음 op-Amp로 증폭한 후, 그 출력을 CR 적분기에서 발생한 ramp 전압과 비교하여 그 차동출력에 의해 열판회로에 직렬로 연결되

어 있는 SCR(Silicon Controlled Rectifier)의 전류를 위상제어하여 열판의 온도를 제어하였다. TLD를 가열할 때 방출되는 형광은 광전자 증배관(RCA type 5819)으로 검출

하고, 형광의 집속과 열판에서 나오는 적외선을 차단하기 위해 렌즈와 석영필터를 부착하였다. TLD의 glow curve는 열전대와 광전자 증배관으로 검출된 열기전력과 광신호 전류를 각각 증폭하여 X-Y recorder의 X축 및 Y축에 입력시켜 측정하였다. 실험에 사용된 photon(X 및 gamma선과 같이 전하량을 갖고 있지 않는 입자들을 일컫는 말)

방사선은 Table 1에 나타내었다.

결과 및 고찰

그림 2는 $MgB_4O_7(Mn)$ TLD에 ^{60}Co gamma선 및 고속전자선 0.2Gy를 흡수시켜 선형가열률 5.45°C/sec로 실온에서 350°C까지 가열 측정한 glow curve이다.

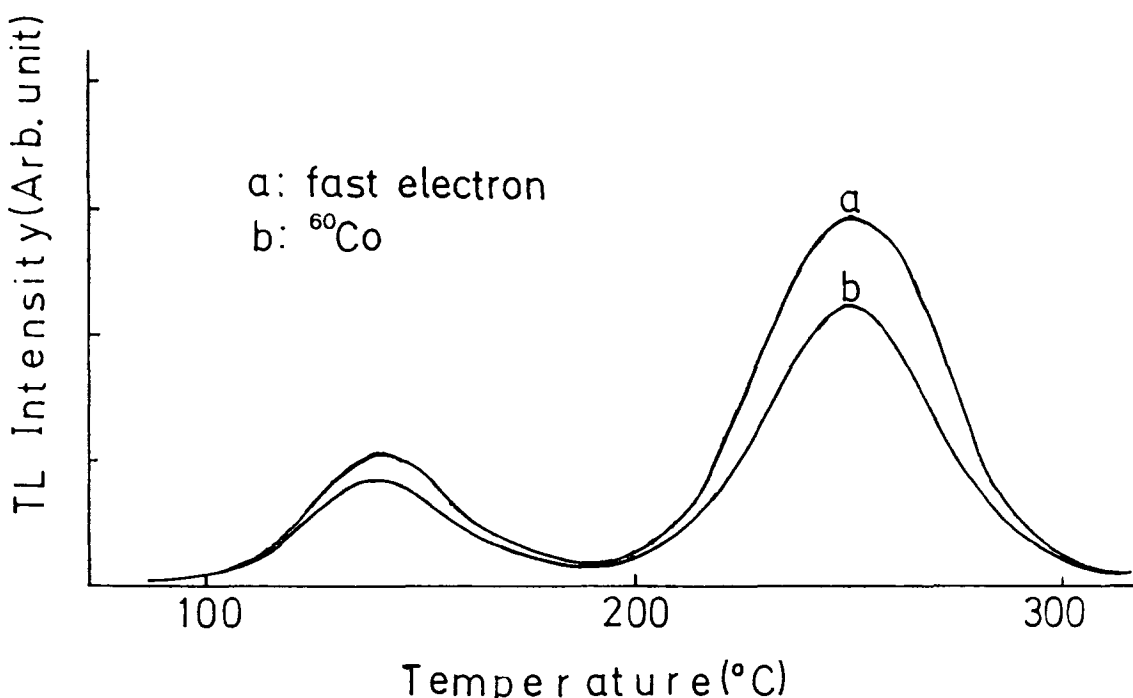


Fig. 2. A typical glow curve of $MgB_4O_7(Mn)$ irradiated with gamma ray and fast electron

$MgB_4O_7(Mn)$ TLD의 glow curve peak 온도는 각각 145°C(P_1), 254°C(P_2)에서 나타났다. 고속전자선(fast electron)을 흡수 시켰을 때도 gamma선을 흡수시켰을 때처럼 peak가 나타나는 온도는 같았지만 주 peak의 높이가 gamma선의 1.3배 정도 되었다. 이것은 $MgB_4O_7(Mn)$ TLD에 같은 방사선량을 흡수시킬지라도 방사선의 종류에 따라서 열형광 peak 높이가 달라지므로 방사선의 종류를 구별할 수 있다는 의미가 된다. 단순하게 흡수선량을 계산할 때는 열

형광량이 가장 높은 peak P_2 를 이용하지만, 다양한 에너지를 갖는 방사선을 평가할 때는 P_1/P_2 높이비가 일정한 값을 갖는 에너지 영역의 방사선을 평가하는 것이 정확한 방법으로 통용되고 있다.

1. X 및 gamma irradiation

그림 3은 $MgB_4O_7(Mn)$ TLD의 glow curve peak비 P_1/P_2 의 photon 에너지에 대한 의존성을 나타내고 있다.

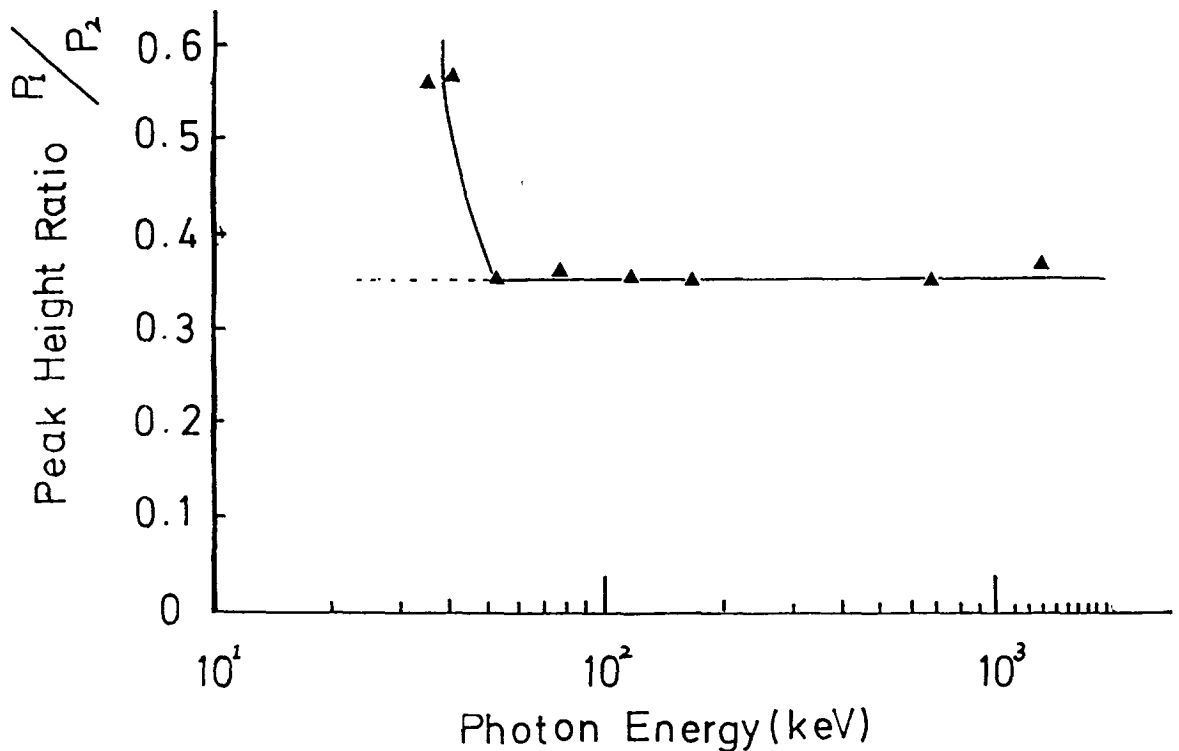


Fig. 3. Peak height ratio plotted against photon energy

P_1/P_2 비는 photon 에너지 50keV부터 수 MeV 범위내에서 약 0.35로 일정한 값이다. 위의 에너지 영역 이외에서는 더 높은 값을 나타내고 있다. 단일 에너지가 아니고 다양한 에너지를 갖는 방사선의 선량평가를 하기 위해서는 여러 종류의 에너지에 대한 정보를 아는 것이 중요하다. 그림 3에서 보여준 $MgB_4O_7(Mn)$ TLD의 P_1/P_2 에 대한 에너지 의존성은 이러한 목적으로는 충분하며 $MgB_4O_7(Mn)$ TLD로 photon을 유효하게 측정할 수 있는 에너지 영역은 선형적인 값을 갖는 50 keV에서부터 수 MeV까지라고 할 수 있다.

2. 고속전자선 irradiation

그림 4는 $MgB_4O_7(Mn)$ TLD glow curve의 peak 높이비 P_1/P_2 가 고속전자선 에너지에 어떻게 의존하는가를 보여주고 있다.

P_1/P_2 비는 전자선 에너지 6MeV부터 18 MeV까지 약 0.18로 일정하였다. 이것은

$MgB_4O_7(Mn)$ TLD는 고속전자선의 방사선량도 유효하게 측정할 수 있다는 것을 의미한다. 그러나 본 실험에서 하지 못한 저속 전자선 영역에서도 P_1/P_2 비가 일정하다고는 할 수 없으므로 저에너지와 고에너지가 포함된 전자선을 측정할 때도 유효한 값을 얻을 수 있을지는 의문이다. 이에 대한 연구는 앞으로 더 계속되어져야 한다. 일반적으로 방사선이 TLD 물질에 도달할 때 TLD 물질에 방사선이 흡수될 확률은 고에너지 방사선보다는 저에너지 방사선쪽이 더 크다. 그러므로 열형광 감도도 저에너지 쪽이 훨씬 높게 나오므로 P_1/P_2 비도 저에너지 쪽이 높게 나오리라고 예상된다.

3. grain size 상태

TLD로 방사선량을 측정할 때 문제가 되는 것중의 하나는 열형광체의 grain size가 변하면 열형광 감도는 달라진다는 것이다.^{3, 5)}

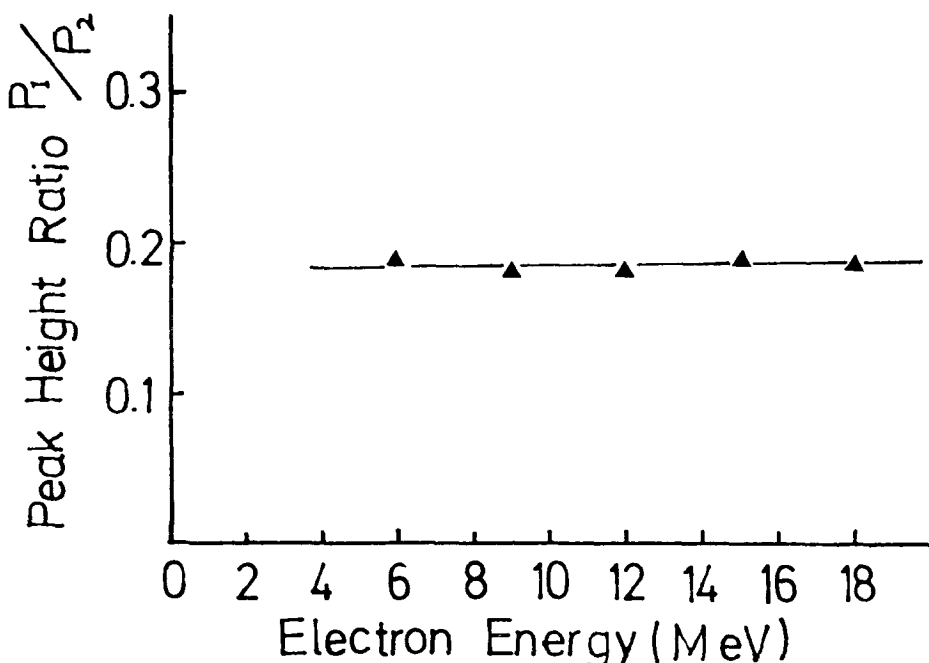


Fig. 4. Peak height ratio plotted against fast electron energy.

그러므로 방사선의 종류별로 또 방사선의 에너지별로 열형광 감도가 최대가 되는 즉 P_1/P_2 비가 가장 작은 grain size를 찾을 필요가 있다. $\text{MgB}_4\text{O}_7(\text{Mn})$ TLD의 grain size 변화에 따른 P_1/P_2 비를 조사하기 위해 분말 형태의 $\text{MgB}_4\text{O}_7(\text{Mn})$ 시료를 sieve로 걸러 44–62 μm , 62–74 μm , 74–149 μm , 149–250 μm 및 250 μm 보다 큰 것, 이상 5가지로 분류하였다. 시료에 gamma 선과 고속전자선을 각각 0.2Gy씩 irradiation 한 후 10mg씩 정량하여 5.45°C/sec의 가열률로 측정하였다.

그림 5는 ^{60}Co gamma선과 고속전자선에 대한 $\text{MgB}_4\text{O}_7(\text{Mn})$ TLD의 grain size에 따른 P_1/P_2 비를 나타내고 있다.

gamma선의 경우, grain size 62–74 μm 크기에서 P_1/P_2 비가 대략 0.35로 최소값을 나타낸다. 고속전자선의 경우도 grain size 크기 62–74 μm 에서 P_1/P_2 비가 약 0.45로 최소값을 나타내었다. 위 실험으로 알 수 있는 것은 gamma선과 고속전자선을 측정

할 때 $\text{MgB}_4\text{O}_7(\text{Mn})$ TLD의 적절한 grain size 크기를 결정할 수 있다는 것이다. 두 경우 각각 P_1/P_2 비가 최소값이 되는 grain size 크기는 62–74 μm 크기로서 이 크기로 $\text{MgB}_4\text{O}_7(\text{Mn})$ TLD를 제작하면 최대의 열형광 감도를 얻을 수 있다. 이온결정의 격자결함은 주로 Schottky⁴⁾ 결함이다. Schottky 결함은 한 원자나 이온이 없는 격자 빈 자리를 의미하며, 결정내부에 있는 격자점의 원자가 결정의 표면에 있는 격자점으로 이동함에 의해 생성된다. 따라서 열처리된 결정의 결함밀도(defect density)는 grain size가 작은 것이 grain size가 큰 것에 비해 클 것이다. 그러므로 결정의 grain size를 감소시킴에 따라 열형광 감도는 증가한다. 그러나 결정의 음이온 밀도는 grain size가 감소할수록 증가한다. 이 두 가지 영향에 의해 최대 열형광 감도를 나타내는 grain size가 존재하는 것으로 생각된다.

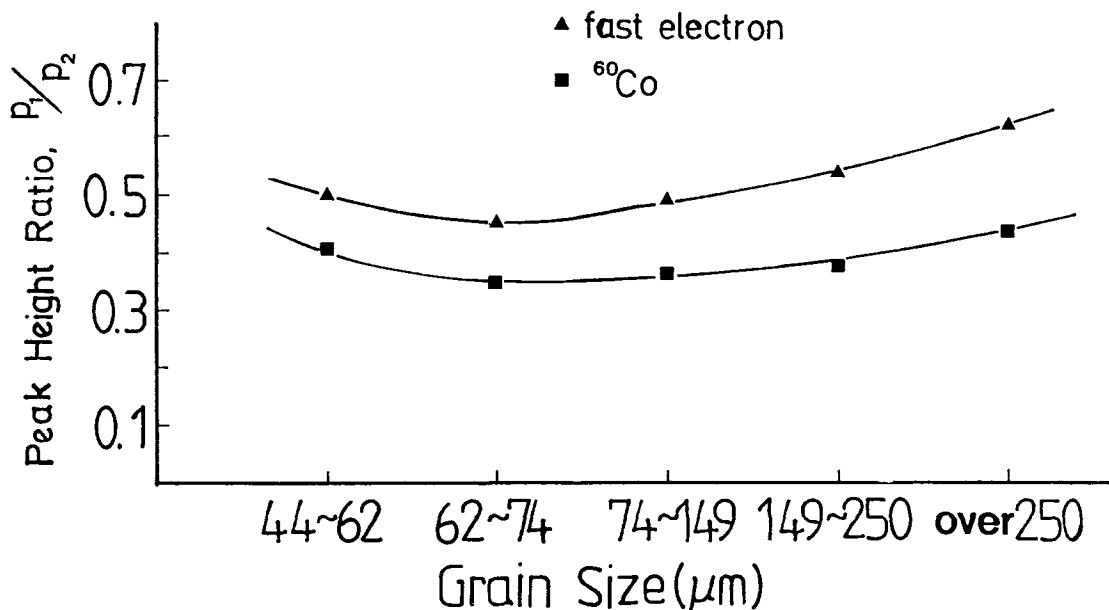


Fig. 5. Peak height ratio plotted against grain size.

결 론

1. $\text{MgB}_4\text{O}_7(\text{Mn})$ TLD의 peak 높이비 P_1/P_2 로 photon 에너지 50keV부터 수 MeV 까지의 영역에서 photon을 측정할 수 있다.
2. 고속전자선은 6MeV부터 18MeV까지 영역에서 측정 가능하다.
3. $\text{MgB}_4\text{O}_7(\text{Mn})$ TLD의 높이비 P_1/P_2 는 photon보다는 고속전자선의 경우가 더 작은 값을 나타내었다. 그래서 두 종류의 방사선을 구별할 수 있다.
4. 최대 열형광 감도를 나타내는 $\text{MgB}_4\text{O}_7(\text{Mn})$ TLD의 grain size는 62~74 μm 이다.

REFERENCES

1. Burgkhordt B and Klipfel A : Dosimetric properties of carbon loaded LiF detectors for beta photon extremity dosimetry, Radiat. Prot. Dosim. : 33(1/4) ; 275~278, 1990
2. Croft S, Weaver DR and Heffer PJH : The application of radiophotolumi-
- nescent glass to γ dosimetry in mixed n- γ fields, Radiat. Prot. Dosim. : 17 ; 67~70, 1986
3. Kasa I : Dependence of thermoluminescence response of $\text{CaSO}_4 : \text{Dy}$ and $\text{CaSO}_4 : \text{Tm}$ on grain size and activator concentration, Radiat. Prot. Dosim. : 33 (1/4) ; 299~302, 1990
4. Kittel C. Introduction to solid state physics. 5th ed. : McGraw Hill, 538, 1976
5. Luguera E et al : Thin $\text{CaSO}_4 : \text{Dy}$ for beta dosimetry. Grain size and energy dependence, Radiat. Prot. Dosim. : 33 (1/4) ; 207~209, 1990
6. Prokic M : Development of highly sensitive $\text{CaSO}_4 : \text{Dy/Tm}$ and $\text{MgB}_4\text{O}_7 : \text{Dy/Tm}$ sintered thermoluminescence dosimeters, Nucl. Instrum. Methods : 175 ; 83, 1980
7. Rayes IM and Stoebe TG : Mixed field multi-element beta/gamma dosimeter design, Radiat. Prot. Dosim. : 17 ; 39~42, 1986